

تشخيص وتركيز الفلدسبار في بعض الترسبات الرملية، جنوبي العراق

ISSN 1817 - 2695

ستار جبار الخفاجي و صفاء حسين العلي و حارث عبد الحليم السعد

قسم علم الأرض/ كلية العلوم/ جامعة البصرة

((الاستلام 2010/4/27 ، القبول 2010/8/1))

khafaji52000@yahoo.com

المستخلص

درست ثمانية مقاطع لترسبات رمال تكوين الدببة الحاملة للفلدسبار في مناطق سفوان والزابير جنوبي محافظة البصرة. قُيِّم توزيع الفلدسبار في الأحجام الرملية المختلفة (0.063-0.125 ملم)، (0.125-0.25 ملم)، (0.25-0.5 ملم)، (0.5-1 ملم)، (1-2 ملم) لأجل إمكانية رفع نسبته وتركيزه واستخدامه كمادة خام في صناعة الزجاج والسيراميك في العراق. شكَّلت الأحجام الخشنة والخشنة جداً (0.5-2 ملم) (56%) و (38%) من الحجم الكلي للرواسب في مناطق سفوان والزابير على التوالي.

بيَّن التحليل المعدني والبتروغرافي شيوع معادن المرو في الأحجام الناعمة والمتوسطة ولكلا النوعين الأحادي والمتعدد التبلور وبمعدل (74.7%) و (86.2%) في مناطق سفوان والزابير على التوالي، بينما تركَّز الفلدسبار (الأورثوكليز والمايكروكلاين والمايكروكلاين-البيريثايت) بصورة رئيسة في الأحجام الخشنة والخشنة جداً بحيث شكَّلت معدلاً (15.1%) في سفوان و (6.8%) في الزبير.

ومن الناحية الكيميائية فقد وجد أن الأكاسيد (Al_2O_3 , Na_2O , K_2O) تتركز في الأحجام الخشنة والخشنة جداً بحيث كان معدل تواجد ($Na_2O + K_2O$) (4.19%) في سفوان و (3.4%) في الزبير، بينما لوحظ نقصان تراكيز (SiO_2 , Fe_2O_3 , CaO) مع زيادة الأحجام الحبيبية وتركيز في الأحجام الناعمة والمتوسطة، ولوحظ أن معدل وجود (Fe_2O_3) في كل من سفوان والزابير قليل عموماً مما يعكس إمكانية تركيز الفلدسبار ورفع نسبته في الرمال الحاوية عليه بإستعمال طريقة التعويم الرغوي دون الحاجة إلى إجراء عمليات الفصل المغناطيسي.

بصورة عامة اتضح أنه يمكن استخدام عمليات الغرلة الميكانيكية الجافة لرفع نسبة الفلدسبار في رمال سفوان (0.5-2 ملم) بمدى (26.7%-32.5%) و (25.2%-29.3%) في رمال الزبير، الأمر الذي يشجع إلى عدّ الرمال ذات الأحجام الخشنة والخشنة جداً كمواد خام للفلدسبار في محافظة البصرة، جنوبي العراق.

الكلمات المفتاحية: الفلدسبار، الترسبات الرملية، تكوين الدببة، جنوب العراق.

1- المقدمة Preface

واللدائن وحشوات الأسنان وتصنيع المصهرات (Fluxes) والعوازل الكهربائية حوالي (14%) من الانتاج العالمي للفلسبار [6]، ونظراً للحاجة الماسة للفلسبار عالمياً فقد بلغ الإنتاج العالمي السنوي في عام 2006 (13.3 مليون طن)، حيث تنتج كل من إيطاليا وتركيا حوالي (18.8%) من الإنتاج العالمي ثم تايلند واليابان (7.5%) تليها الولايات المتحدة الأمريكية (5.7%) ثم فرنسا (4.9%) [7]. علماً إن الولايات المتحدة تعتبر أكثر الدول المستوردة للفلسبار، إذ تستورد ما يقارب (60%) من الإنتاج العالمي تليها كندا (20%) ثم الدول الأوروبية (20%). ونظراً للحاجة الماسة للفلسبار في العراق لدخوله في الصناعات السيراميكية فقد لجأت الشركة العامة لصناعة الزجاج والسيراميك في الرمادي إلى استيراده من خارج العراق وبالعملة الصعبة (اتصال شخصي مع الشركة العامة لصناعة الزجاج والسيراميك، 2009).

لا توجد دراسات كافية في العراق حول الرمال الحاملة للفلسبار، خصوصاً تلك المتواجدة في محافظة البصرة/ جنوبي العراق عدا الدراسة التي قدمها [2] والتي ركزت على الجانب الرسوبي لتلك الرمال مع التطرق إلى دراسة المعادن الثقيلة وتحليل التيارات القديمة، زيادةً على الدراسة التي قام بها [8] والتي ركزت على معدنية وجيوكيميائية تلك الترسبات مشيراً إلى ان الفلسبار يتواجد في الحجوم الرملية الخشنة ويقل في الحجوم الناعمة إلا أنها لم تكن تفصيلية بحيث تعطي صورة كاملة عن توزيع الفلسبار فيها بصورة دقيقة خاصة عن الجانب الاقتصادي لترسبات الرمال.

من ناحية أخرى فقد أجرى [9] دراسة حول التوزيع الحجمي لمعادن الفلسبار في رسوبيات رمال هضبة النجف، وأشار إلى وجود الفلسبار بتركيز يصل إلى (36%) في الأحجام الحبيبية الحصوية (أكبر من 4 ملم) وبمعدل (24.2%) في الأحجام الرملية التي تزيد عن (0.71 ملم)، أما [10] فقد توصلوا إلى انه يمكن الحصول على ركاز تصل نسبة الفلسبار فيه إلى (85%) في رمال هضبة النجف بطريقة التعويم الرغوي.

تعد الرمال من المواد الأولية المهمة التي تدخل في العديد من الصناعات المختلفة سواء استعمالها بشكلها الطبيعي أو إجراء بعض المعالجات عليها بغية تهيأتها للاستعمالات الأخرى.

تنتشر الرمال الحصوية بكميات اقتصادية في تكوين الدببة (البلاوسين) الذي يغطي مساحات شاسعة في الصحراء الجنوبية من العراق إبتداءً من البصرة مروراً بالناصرية وانتهاءً بالنجف وكربلاء. إذ تشغل هذه الرواسب في محافظة البصرة وحدها مساحة تقدر بحوالي (500 كم²) وهي مغطاة برواسب حديثة ممثلة برسوبيات المراوح الغرينية والجبكريت [1]. ونظراً لندرة وجود خامات الفلسبار في العراق كصخور البجماتايت والكرانيت والنفلين سياناييت فإنه يمكن أن تُعد رمال تكوين الدببة في جنوبي العراق (قيد الدراسة) هي احد أهم المصادر لمعادن الفلسبار، خصوصاً إذا ما عرفنا ان هذا التكوين هو أكثر التكوين الرملية الحاملة للفلسبار عند مقارنته مع التكوين الرملية الأخرى كتكويني انجانة والمقدادية [2]. وتعد معادن الفلسبار أهم المجاميع المعدنية التي تتكون من سليكات الألمنيوم الحلوية على البوتاسيوم والصوديوم والكالسيوم وحتى الباريوم وهي تشمل مجموعة الفلسبار البوتاشي الممثل بمعادن الأورثوكليز والمايكروكلاين والسندين ومجموعة البلاجيوكليز التي تتكون من ستة معادن وهي الألبايت والاوليكوكليز والاندين واللابرودورايت والبايتونايت والانورثايت والتي تكون فيما بينها محلولاً صلباً (Solid solution) لعنصري الكالسيوم والمغنيسيوم [3].

وبسبب ما تمتلكه معادن الفلسبار من خواص كيميائية وفيزيائية وميكانيكية وحرارية فريدة فقد أهلتها للدخول في صناعات عديدة كصناعة الزجاج والسيراميك والحراريات وكاشي الارضيات والصحيات والعوازل الكهربائية، فهو يُعد مصدراً للفلويات والألومينا الضروريين لصناعة الزجاج العادي والملون. إذ تستهلك الصناعات الزجاجية وحدها أكثر من (56%) من الفلسبار الصودي المنتج عالمياً، بينما تستهلك الصناعات الخزفية حوالي (30%) من الفلسبار البوتاشي عالمياً [4, 5] وتستهلك كل من صناعة المطاط

2- هدف البحث ومنطقة الدراسة Aims & study area

يهدف البحث الحالي إلى تقييم الفلدسبار وتوزيعه في الأحجام الحبيبية الرملية المختلفة في ثمانية مقاطع مختارة في منطقتي سفوان والزبير إلى الجنوب الغربي من مدينة البصرة، شكل (1)، جدول (1). مع بيان إمكانية فصل

3- الوضع الجيولوجي للخام Geologic setting

وجد من خلال المسح الميداني إن ترسبات تكوين الدبديبة تمتد لمسافات شاسعة جنوب وجنوب غرب محافظة البصرة لتغطي آلاف الكيلومترات المربعة وهذه الترسبات ذات طبيعة رملية حصوية تزداد فيها نسبة الرمال على حساب الحصى من الجنوب الشرقي باتجاه الشمال الغربي والحصى يتخذ أشكالاً ولواناً وأحجاماً متعددة تتراوح بين أحجام الـ Granule و الـ Cobble كحد أقصى.

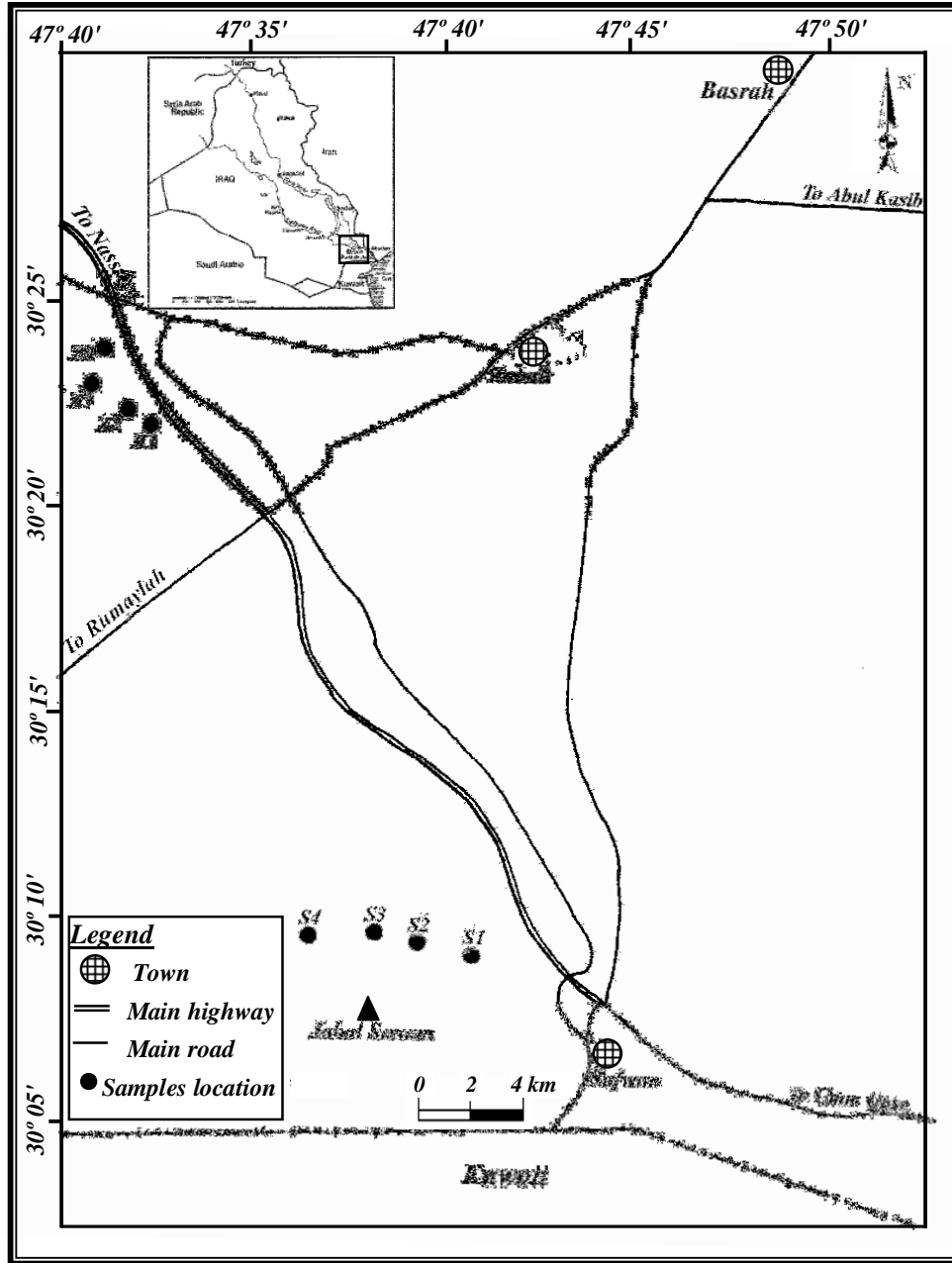
توجد في منطقة الدراسة العديد من المكاشف على شكل مقالع يصل عددها إلى أكثر من 30 مقلعاً مستغل لأغراض البناء وتتراوح سماكاتها بين (5-12 م) وبمعدل (8 م)، وتعد ترسباتها من النوع الطبقي (وفي بعض الأحيان عدسية) إذ تشكل امتدادات مستوية أو شبه مستوية على شكل طبقة تتخذ موقعاً لها بين تتابع الطبقات الأخرى.

صخرياً يوصف الخام على أنه عبارة عن ترسبات رملية حصوية هشة مكونة من عدد من الدورات الرسوبية المتعاقبة ذات التطبيق المتقاطع الحوضي والمستوي وتندرج لتصبح أكثر نعومة نحو الأعلى (Finning upward) إذ يتراوح سمك الدورة الرسوبية بين (0.5-2 م) تقريبا وهذه الدورات تشير إلى الأصل النهري الدلتائي.

تنتشر ترسبات تكوين الدبديبة الرملية ذات العمر (Late Miocene – Pliocene) انتشاراً واسعاً في جنوب العراق وبعض الدول المجاورة كالكويت، يقع الموقع المثالي للتكوين (Type locality) في منطقة البرجسية الواقعة في حقل الزبير النفطي جنوبي العراق [11].

وصف [11] Owen & Nasr, 1958 In: [11] التكوين من خلال عدد من الآبار المحفورة في حقل الزبير وأشار إلى أنه يتكون بصورة رئيسية من الرمل والحصى يتخللها قطع من الصخور النارية. سمك التكوين قد يصل إلى (500 م) وهذا السمك يتناقص باتجاه غرب الزبير ليصل إلى (173 م) في حقول الرملية ويقل باتجاه الغرب إلى أن يختفي تحت الترسبات الفيضية الحديثة وأن رسوبياته ترسبت في بيئة مائية قارية قد تتحول إلى بيئة دلتائية [12].

يحد التكوين من الأسفل تكوين الفتحة (Fatha Formation) غير الظاهر في المنطقة أما حدوده العليا فتكون غالباً مغطاة بطبقات من الرمال (Sand sheets) أو ترسبات المروحة النهرية (Alluvial fan deposits) لوادي الباطن.



شكل (1) خريطة منطقة الدراسة محورة عن المساحة العسكرية (1990).

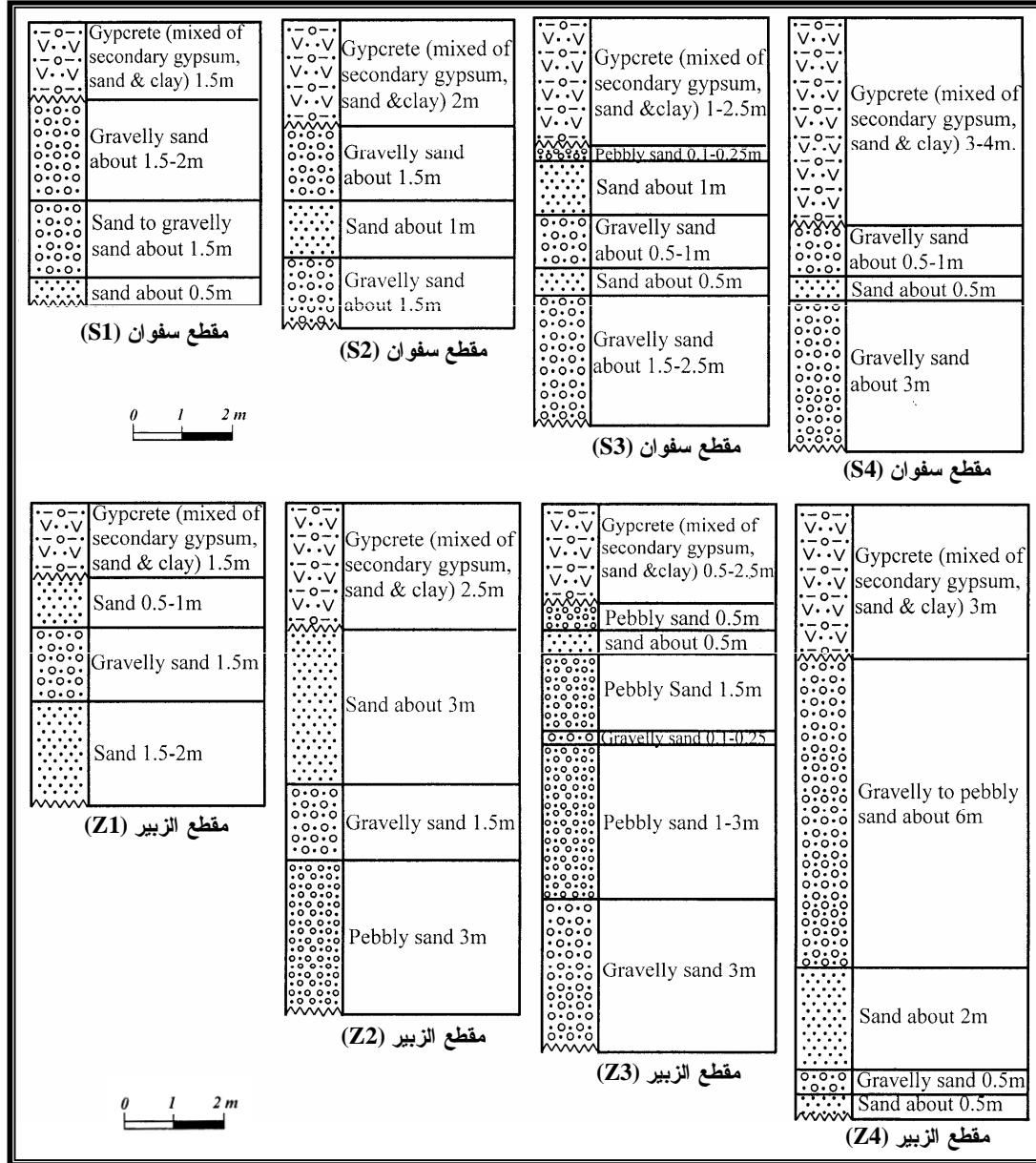
جدول (1) إحداثيات مواقع مقاطع الدراسة.

Section symbol	Northing	Easting	Section symbol	Northing	Easting
Z1	30° 21' 68"	47° 32' 55"	S1	30° 09' 15"	47° 40' 25"
Z2	30° 22' 05"	47° 31' 89"	S2	30° 09' 61"	47° 38' 65"
Z3	30° 22' 70"	47° 30' 92"	S3	30° 09' 85"	47° 37' 82"
Z4	30° 23' 50"	47° 31' 35"	S4	30° 09' 70"	47° 36' 11"

Z = Zubair; S = Safwan

والتي يتراوح سمكها في مقاطع منطقة سفوان بين (1-4 م) وبمعدل (2.5 م) بينما يتراوح سمكها في مقاطع منطقة الزبير بين (0.5-3 م) وبمعدل (2.3 م)، كما لوحظ حقلياً أن سمك هذه الطبقة يزداد كلما اتجهنا نحو الجنوب والجنوب الغربي من منطقة سفوان.

يوضح الشكل (2) المقاطع الجيولوجية المدروسة، إذ يلاحظ أن المنطقة تكون مغطاة بطبقة صلدة تقريباً (Overburden) مكونة من خليط من الأطنان والرمال والمواد الكربوناتيّة والجبس الثانوي تعرف بطبقة الجبكريت (Gypcrete) تكون مغطاة أحياناً ببعض الترسبات الريحية



شكل (2) المقاطع الجيولوجية في منطقتي سفوان والزبير.

الحصى وأحجامها في مقاطع سفوان بالمقارنة مع مقاطع الزبير الذي تزداد فيها نسبة الأحجام الرملية على حساب الأحجام الحصوية.

يتغير سمك الطبقة الحاملة للفلسبار من الأعلى إلى مستوى المياه الجوفية بين (4-5 م) وبمعدل (4.3 م) ضمن منطقة سفوان، بينما يتراوح سمكها بين (4.5-9 م) وبمعدل (7.5 م) ضمن منطقة الزبير. وقد لوحظ زيادة في نسب

رواسب الرمال والحصى بشكل عام والفلدسبار بشكل خاص، الأمر الذي يشجع على تقييم تلك الترسبات لإستغلالها في محافظة البصرة مستقبلاً.

إن هذه السماكات والإمتدادات الجيدة للطبقة الحاملة للفلدسبار تعد عاملاً مشجعاً للإستثمار والإستغلال المعدني للصناعات التي تتطلب توفر مواد أولية بكميات كبيرة من

4- طرائق العمل Methodology

1-4 العمل الحقلّي Field work

منطقة سفوان و(4) مقالع في منطقة الزبير. كما تم وصف المقاطع بصورة تفصيلية بعدها تمت النمذجة القناتية (Channel sampling) لها، وتم اختيار نموذجاً ممثلاً للخاص (Representative sample) بوزن (50 كغم) لكل مقطع على حدة.

تضمن القيام بمسح ميداني لمناطق ضمن الصحراء الجنوبية التابعة لقضاء الزبير وناحية سفوان إلى الجنوب الغربي من مدينة البصرة، إذ تم مسح منطقة مساحتها (500 كم²). تم من خلالها تحديد امتداد وسمك الترسبات الرملية واختيار عدد من المكاشف المتوافرة كمقالع والتي تمثل أفضل سمك وامتداد والبالغ عددها (8) توزعت على (4) مقالع في

2-4 العمل المختبري Laboratory work

العلوم/ جامعة البصرة وحسب ظروف التشغيل (20mA, 40kV, Ni-filtered and CuK α radiation).

تم تشخيص المكونات المعدنية وتقدير نسب كل من الكوارتز والفلدسبار في كل نموذج باستعمال بطاقات (ASTM) وحسب [14] وبرنامج (Philips X'Pert HighScore).

حُضر أكثر من (25) شريحة صخرية ممثلة للأجزاء الرملية كافة ثم معاملتها بمادة الأردايت بوصفها مادة مصلبة لكونها نماذج مفتتة، بعدها فحصت جميعاً باستعمال المجهر المستقطب (Polarized microscope) نوع (Optika) لتحديد أنواع المكونات المعدنية للأجزاء الرملية (المرو والفلدسبار والقطع الصخرية) وحساب نسبها باستعمال العداد النقطي. وقد تم اختيار (16) لوحة لهذا الغرض ممثلة لمنطقتي الدراسة.

من الناحية الكيميائية فإن جميع الأجزاء الحبيبية قد خضعت للتحليل الكيميائي لمعرفة مكوناتها من الأكاسيد (SiO_2 , Al_2O_3 , Fe_2O_3 , CaO , SO_3 , K_2O , Na_2O) فضلاً عن إجراء التحليل الكيميائي للجزء الرملّي (2-0.063 ملم) لمعرفة الأكاسيد المؤثرة في توزيع الفلدسبار وعلاقتها مع الحجم الحبيبي، علماً أن التحاليل الكيميائية الرطبة كافة قد أجريت في مختبرات الشركة العامة للمسح الجيولوجي والتعدين وحسب الطرائق المعتمدة في جدول (2)

أجري التحليل الحجمي الحبيبي (Grain size analysis) للنماذج الممثلة لكل منطقة بعد إجراء عملية التربيع ومعاملتها بالماء الساخن عدة مرات للتخلص من الأملاح والوحل، إذ تم فصل الجزء الحصى عن الجزء الرملي باستعمال المناخل القياسية (ASTM sieves)، وقُسم الجزء الرملي (2-0.063 ملم) حسب تصنيف (Wentworth) [13] إلى الأحجام (0.125-0.063 ملم)، (0.25-0.125 ملم)، (0.5-0.25 ملم)، (1-0.5 ملم)، (1-2 ملم) علماً أنه قد تم ادخال الجزء (2-4 ملم) ضمن التدرج الحجمي لأغراض المقارنة بينما أهمل الجزء الحصى (أكبر من 4 ملم) وذلك لصعوبة فصل الفلدسبار من الأجزاء الحصى، لكون الحصى في أغلبه عبارة عن قطع لصخور متحولة أو نارية وحتى رسوبية يصعب فصل الفلدسبار منها ميكانيكياً من ناحية وسهولة العمل على الجزء الرملي من ناحية أخرى كونه يمثل نواتج تجوية مفتتة للصخور أعلاه [2]، مما يوفر الكلف الإقتصادية المطلوبة كالتكسير والطحن التي يتطلبها العمل على الجزء الحصى.

شمل التحليل المعدني الأجزاء الرملية المذكورة كافةً وذلك بعد طحنها باستعمال هاون العقيق إلى حجم أقل من (50 مايكرون) وفحصها كلاً على حدة بجهاز الأشعة السينية الحائدة (X.R.D) نوع (Panalytical Xpert PRO MPD) الموجود في كلية

جدول (2) طرائق تحليل الأكاسيد الرئيسية.

Oxide	Analytical method
SiO ₂ , SO ₃	Gravimetry
Al ₂ O ₃	Colorimetry
CaO	Volumetric method
K ₂ O, Na ₂ O	Flame Photometry
Fe ₂ O ₃	Atomic Absorption Spectrometry

5- النتائج والمناقشة Results and discussion

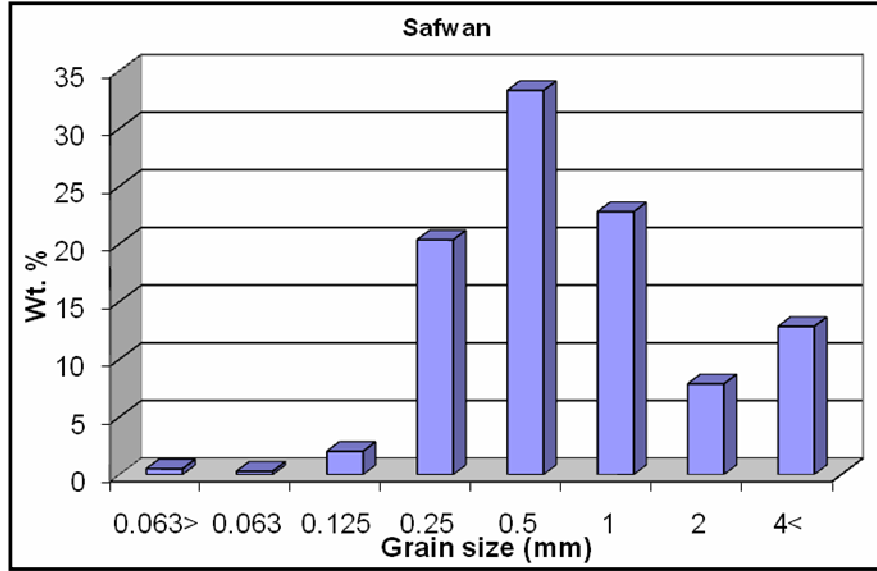
1-5 التحليل الحجمي الحبيبي Grain size analysis

أكثر من (50%) من المجموع الكلي للترسيب على مستوى المقاطع في سفوان كمعدل. الأمر الذي شجع على التركيز على دراسة هذا الجزء لمعرفة توزيع معادن الفلدسبار فيه، في حين بلغ معدل مجموع الأجزاء الناعمة والمتوسطة (0.125-0.5 ملم) (22.37%)، فيما أهملت أحجام الرمل الناعم جداً والغرين (الأقل من 0.125 ملم) لكونها تمثل جزءاً ضئيلاً من الترسيب (0.79%) لا يمكن التعويل عليه اقتصادياً، جدول (3).

أظهرت نتائج التحليل الحجمي الحبيبي لاربعة نماذج ممثلة لمقاطع سفوان، جدول (3) وشكل (3) إن معدل النسبة المئوية للأحجام التي تمثل (<2 ملم) كانت (20.71%)، بينما كانت نسبة الجزء الرملي ككل (0.063-2 ملم) هي (78.74%). لوحظ أن الجزء الرملي الخشن (0.5-1 ملم) يمثل النسبة الأكبر مقارنة بنسب الأجزاء الحجمية الأخرى على مستوى الترسيب في مقاطع سفوان حيث بلغ (33.3%)، بينما كان مجموع الجزأين الخشن والخشن جداً (0.5-2 ملم)

جدول (3) التحليل الحجمي الحبيبي للطبقة الحاملة للفلدسبار في مقاطع سفوان.

Wentworth Scale	Grain size mm	(S1) Wt. %	(S2) Wt. %	(S3) Wt. %	(S4) Wt. %	Range	Average Wt. %	Cumu. Wt. %	
Coarse silt	< 0.063	0.54	0.46	0.49	0.50	0.46-0.54	0.50	0.50	
Sand	V. fine	0.063-0.125	0.35	0.23	0.25	0.32	0.23-0.35	0.29	0.79
	Fine	0.125-0.25	2.16	1.88	1.92	2.12	1.88-2.16	2.02	2.81
	Medium	0.25-0.5	20.95	19.75	19.60	21.10	19.6-21.1	20.35	23.16
	Coarse	0.5-1	34.60	31.99	33.10	33.49	31.99-34.6	33.30	56.46
	V. coarse	1-2	21.86	23.70	23.18	22.37	21.86-23.7	22.78	79.24
Gravel	Granule	2-4	7.12	8.62	8.18	7.55	7.12-8.62	7.87	87.11
	Pebble	> 4	12.58	13.11	13.40	12.28	12.28-13.4	12.84	99.95



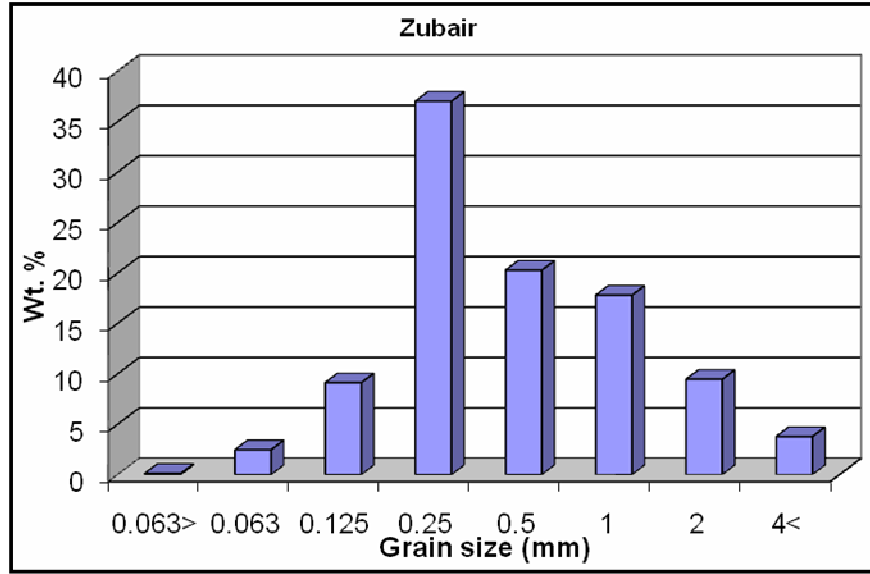
شكل (3) معدل التحليل الحجمي الحبيبي للطبقة الحاملة للفلسبار في مقاطع سفوان.

أما الجزء الرملي (2-0.063 ملم) فقد شكل (86.65%) في مقاطع الزبير، إذ يمثل الجزء الخشن (0.5-1ملم) منه (20.27%) ومجموع الجزأين الخشن والخشن جداً كان (38.06%) وهو أقل بكثير مقارنة مع مثيلاته في سفوان. أما الأجزاء الناعمة والمتوسطة في رمال الزبير فقد شكلت (46.13%) وهي أكثر من ضعف نسبتها في رمال سفوان.

أما بالنسبة للنماذج الأربعة الممثلة لمقاطع الزبير فقد وجد أن معدل النسب المئوية للأحجام التي تمثل الجزء الحصى (<2 ملم) قد بلغت (13.23%)، (لا حظ جدول وشكل 4) وهي أقل من مثيلاتها في مقاطع سفوان، كما وجد كذلك أن أشكال وأحجام الحصى في ترسيبات مقاطع الزبير هي أقل من مثيلاتها في مقاطع سفوان أيضاً.

جدول (4) التحليل الحجمي الحبيبي للطبقة الحاملة للفلسبار في مقاطع الزبير.

Wentworth Scale	Grain size mm	(Z1) Wt. %	(Z2) Wt. %	(Z3) Wt. %	(Z4) Wt. %	Range	Average Wt. %	Cumu. Wt. %
Coarse silt	< 0.063	0.13	0.11	0.11	0.09	0.09-0.13	0.11	0.11
Sand	V. fine	0.063-0.125	2.69	2.34	2.57	2.33-2.69	2.46	2.57
	Fine	0.125-0.25	10.22	10.07	8.15	8.0-10.22	9.11	11.68
	Medium	0.25-0.5	36.50	36.72	37.36	36.5-37.96	37.02	48.7
	Coarse	0.5-1	18.74	18.13	22.40	18.13-22.4	20.27	68.97
	V. coarse	1-2	18.78	18.02	17.56	16.8-18.02	17.79	86.76
Gravel	Granule	2-4	9.22	9.73	9.17	9.17-9.73	9.45	96.21
	Pebble	> 4	4.23	4.82	2.74	3.33-4.82	3.78	99.99



شكل (4) معدل التحليل الحجمي الحبيبي للطبقة الحاملة للفلدسبار في مقاطع الزبير.

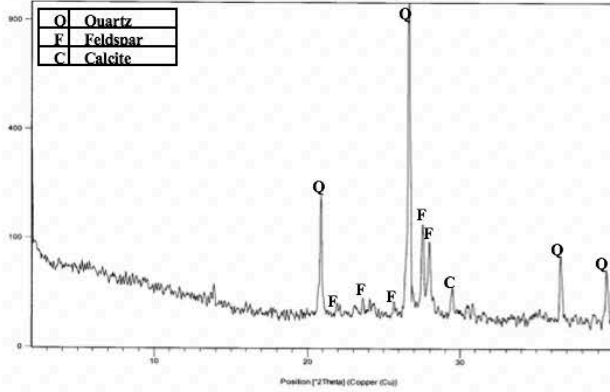
للسوبيات بحيث ترسبت الرسوبيات الخشنة والخشنة جداً بالقرب من المصدر والرسوبيات الناعمة والمتوسطة بعيداً نسبياً عن المصدر.

وهذا يفسر بشكل واضح أن غالبية الأحجام الحصوية والرملية الخشنة والخشنة جداً تتركز في مقاطع سفوان، بينما تتركز غالبية الأحجام الرملية المتوسطة والناعمة في مقاطع الزبير وربما يرجع ذلك إلى قلة طاقة المصدر المجيز

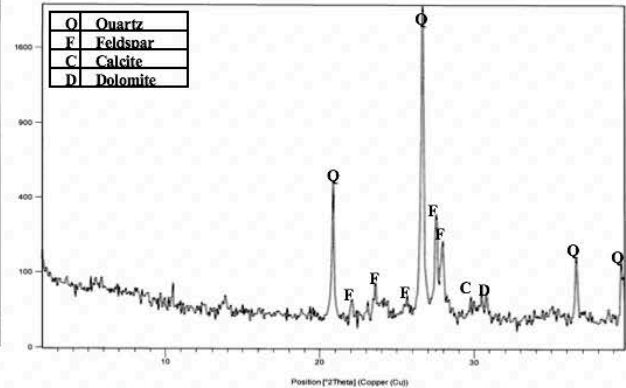
2-5 التحليل المعدني Mineralogical analysis

أما معادن الفلدسبار فقد شخّصت في كافة الأحجام المدروسة أيضاً عند الإنعكاسات القاعدية (A) (3.11, 3.2, 3.43, 3.75, 4.05) على التوالي، الأشكال (5, 6, 7, 8, 9, 10, 11, 12). وقد لوحظ إن هناك إتجاه واضح لزيادة نسب هذه المعادن مع زيادة الحجم الحبيبي عموماً مع بعض الاستثناءات. وقد بدا واضحاً إن الأحجام الأكثر إحتواءً على الفلدسبار هي الأحجام (0.5-1 ملم) في منطقتي الدراسة كليهما من ناحية، إلا إن هناك زيادة واضحة في نسبته في رمال منطقة سفوان بالمقارنة مع رمال منطقة الزبير، جدول (5). إذ تزداد هذه النسبة عند الإنتقال من الأحجام (0.125-0.25 ملم) إلى الأحجام (0.5-1 و 2 ملم) بشكل واضح.

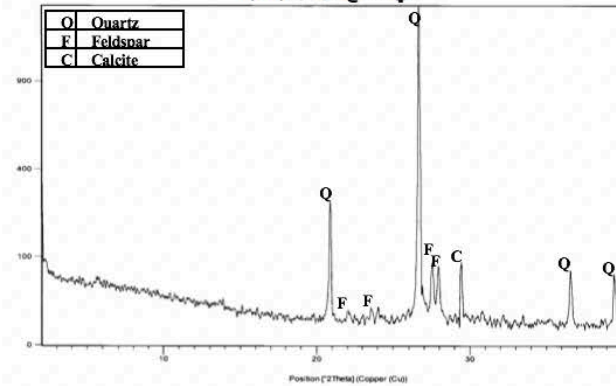
بينت نتائج التحليل بالأشعة السينية الحادة (X.R.D) شيوع معدن المرو الذي شُخص عن الإنعكاسات (A) (2.28, 2.46, 4.26, 3.34) في الأحجام الرملية كافة، الأشكال (5, 6, 7, 8, 9, 10, 11, 12). كما أشارت نتائج احتساب نسبة هذا المعدن بإستخدام برنامج (Philips X'Pert HighScore) (تقدير شبه كمي)، جدول (5) إلى ان هناك زيادة تدريجية في نسبته مع نقصان الحجم الحبيبي في كلاً من نماذج مقاطع سفوان والزبير عموماً، إلا إن نسبته في رمال مقاطع الزبير هي أكثر من نسبته في رمال مقاطع سفوان، إذ بلغت نسبته في رمال الزبير (87.0%) عند الحجم (0.25-0.5 ملم) بينما بلغت نسبته عند الحجم نفسه في رمال سفوان (76.2%)، جدول (5). كما تشير النتائج بوضوح إلى ميل المرو للتركيز في الأحجام الناعمة والمتوسطة.



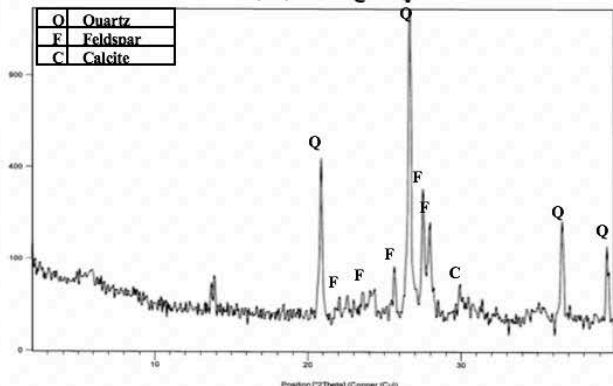
شكل (6) مخطط (X.R.D) للحبيبات (0.125-0.25mm) في مقطع الزبير (Z3).



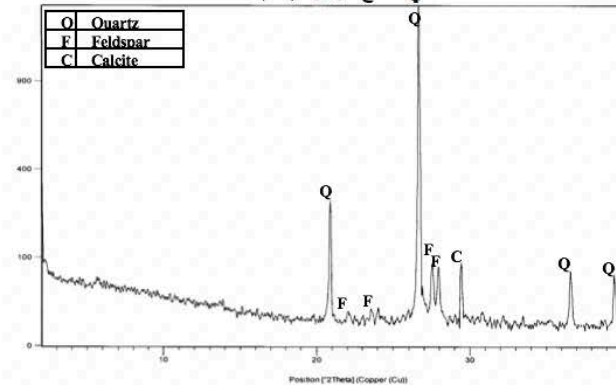
شكل (5) مخطط (X.R.D) للحبيبات (0.125-0.25mm) في مقطع سفوان (S3).



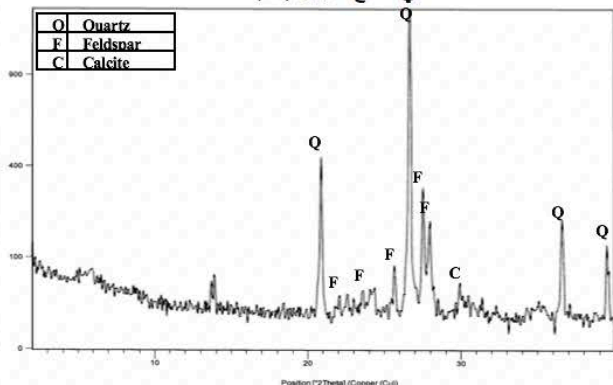
شكل (8) مخطط (X.R.D) للحبيبات (0.25-0.5mm) في مقطع الزبير (Z3).



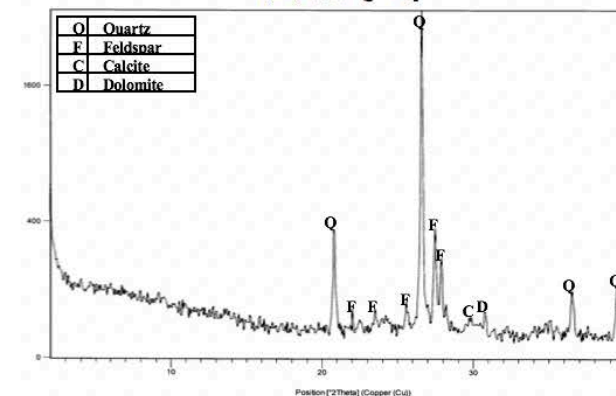
شكل (7) مخطط (X.R.D) للحبيبات (0.25-0.5mm) في مقطع سفوان (S3).



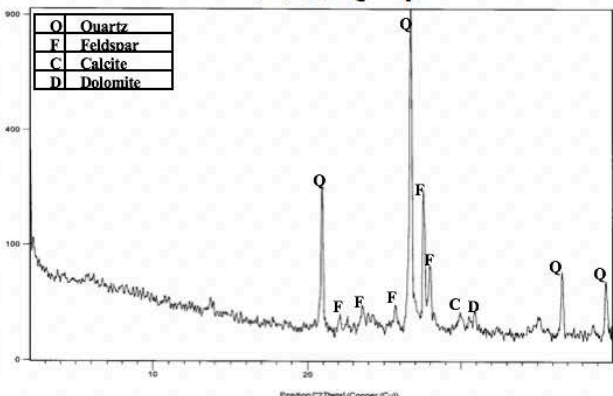
شكل (10) مخطط (X.R.D) للحبيبات (0.5-1mm) في مقطع الزبير (Z3).



شكل (9) مخطط (X.R.D) للحبيبات (0.5-1mm) في مقطع سفوان (S3).



شكل (12) مخطط (X.R.D) للحبيبات (1-2mm) في مقطع الزبير (Z3)



شكل (11) مخطط (X.R.D) للحبيبات (1-2mm) في مقطع سفوان (S3)

(Froth floatation) بعدّه الحجم المفضل الحامل للفلسبار للاستفادة منه في الصناعات السيراميكية والزجاجية وغيرها في العراق خصوصاً وأن الشركة العامة لصناعة الزجاج والسيراميك تستورد هذا الخام حالياً (اتصال شخصي مع الشركة، 2009).

وقد بينت نتائج إحتساب النسبة المئوية (التقدير شبه الكمي) للفلسبار وصول نسبته إلى أقصاها عند الحجم (0.5-1 ملم) حيث بلغت (35.2%) في رمال سفوان و (19.3%) في رمال الزبير وهي نسبة جيدة جداً من الناحية الاقتصادية، إذ يمكن الاستفادة منها واختيار هذا الحجم لأغراض تركيز الفلسبار واستخلاصه من هذه الرمال بطريقة التعويم الرغوي

جدول (5) النسب المئوية لمعدني المرو والفلسبار في الأحجام الحبيبية المختلفة في نماذج منطقتي سفوان والزبير (محسوبة باستخدام برنامج Philips X'Pert HighScore)

Grain size (mm)	Area under the peaks			
	Safwan sample		Zubair sample	
	Quartz (%)	Feldspar (%)	Quartz (%)	Feldspar (%)
0.125-0.25	85.9	14.1	84.9	15.1
0.25-0.5	76.2	23.8	87.0	13.0
0.5-1	64.8	35.2	80.7	19.3
1-2	78.2	21.8	82.3	17.7
Average	76.27	23.72	83.72	16.27

2-5 التحليل البتروغرافي Petrographic analysis

والخشنة جداً لمعرفة مدى تغاير أنواع ونسب معادن المرو والفلسبار والقطع الصخرية مع الأحجام الحبيبية، اللوحات (1، 2).

شمل التحليل البتروغرافي تحضير وفحص أكثر من (25) شريحة صخرية لكل من نماذج سفوان والزبير، فحصت ابتداءً من الأحجام الرملية الناعمة ثم المتوسطة والخشنة

1- المرو Quartz

الزبير مقارنة برمال سفوان، ووجد عموماً زيادة معدلاته مع نقصان الحجم الحبيبي أي باتجاه الأحجام الناعمة .

شُخص المرو بنوعيه احادي التبلور (Monocrystalline) ومتعدد التبلور (Polycrystalline)، إذ شُخص الأول على أساس انطفائه المستقيم والتموج (Straight and non to slightly undulose extension) [15]، وبأشكال عديمة الأوجه إلى شبه مستديرة وأحياناً قليلة ذات حافات حادة، لوحة (1-1، 2، 3، 4، 5)، لوحة (2-4، 5، 7، 8).

أما المرو متعدد التبلور فقد تكون من بلوريتين أو أكثر من معدن المرو مختلفة التوجيه البصري، إذ تكون الحدود بينهما غير منتظمة أو مستقيمة أو درزية ذات انطفاء متموج تميزت بأشكال شبه دائرية إلى زاوية، لوحة (1-4)، (2-2).

إعتماداً على طريقة العداد النقطي شكّل المرو أحادي التبلور ما بين (51.4-71.5) و (62.1%) كمعدل في رمال مقاطع سفوان، جدول (6) بينما يشكل (76.3-82.2) في رمال مقاطع الزبير وبمعدل (79.77%)، جدول (7). أي ان هناك زيادة في معدلات المرو أحادي التبلور في رمال

شكّل المرو متعدد التبلور نسبة ما بين (10.8-15.5) وبمعدل (12.62%) في رمال مقاطع سفوان بينما شكل (5.5-7.6) في رمال مقاطع الزبير وبمعدل (6.52%)، ولوحظ كذلك إن هناك زيادة لنسب هذا المعدن مع نقصان الحجم الحبيبي في كلتا المنطقتين أيضاً.

2- الفلدسبار Feldspar

أ- مجموعة الفلدسبار البوتاشي

شخصت معادن الأورثوكليز والميكروكلاين بوضوح في جميع الأحجام الحبيبية، كما شُخص النمو المتداخل بين الكوارتز والفلدسبار في بعض الأحجام.

- الأورثوكليز والميكروكلاين

شُخص الأورثوكليز بشكله المضرب الواضح المتآكل الحافات الناقص الأوجه (Subhedral) مع وجود التوأمة البسيطة وتغير بعض أجزاء منه إلى السيريسايت والكاؤولينايت [16]، لوحة (6-1)، (1-2).

أما الميكروكلاين فقد ميّز بأشكال حبيباته الناقصة الأوجه عموماً وفي كافة الأحجام، إضافة إلى امتلاكه تشقق كامل باتجاه واحد، لوحة (8-2)، كما أمثلت حبيباته أيضاً توأمة واضحة من النوع المتقاطع (Cross hatching)، لوحة (4-2) بالإضافة إلى تداخله مع الألبايت في بعض الحالات مكوناً نسيجاً (Perthitic microcline)، لوحة (4-2)، (6-2) مشيراً إلى الأصل الناري لهذه الرمال [17]. كما وجد أيضاً نمواً متداخلاً بين الفلدسبار البوتاشي مع بلورات المرو مكوناً نسيج (Granphyric tex.)، لوحة (1-7).

ب- مجموعة البلاجيوكليز

- الألبايت

أمكن تشخيص الألبايت فقط في هذه المجموعة، وظهر على شكل حبيبات زاوية إلى شبه زاوية (Angular to subangular) وتميز بالتوأمة المتعددة التي تميزه عن مجموعة الفلدسبار البوتاشي [16]، لوحة (1-1)، (2-1)، (5-2).

تتدرج نسب كلا المعدنين بالزيادة من الأحجام الناعمة إلى الأحجام الخشنة والخشنة جداً في كلا من رمال مقاطع سفوان والزيبر عموماً، جدول (6، 7). إذ بلغت مجموع معدلاتهما في رمال مقاطع سفوان (10.1%) بينما بلغت معدلاتهما في رمال مقاطع الزيبر (4.32%).

- البيرثايت والميكروكلاين - بيرثايت

وجد البيرثايت بشكل واضح متداخلاً مع الميكروكلاين على شكل بقع أو أشرطة على سطح الحبيبات متخذاً اشكالاً شبه مستديرة في كلاً من رمال سفوان والزيبر، لوحة (6-1)، (8-1) مما يشير إلى الأصل الناري الجوفي لهذه الرمال [17].

تراوحت نسب البيرثايت (ميكروكلاين-بيرثايت) بين (2.3-8.1%) وبمعدل (4.35%) في رمال مقاطع سفوان، أما بالنسبة لرمال مقاطع الزيبر فكانت بين (1.5-3.7%) وبمعدل (2.55%) وهذا يعني زيادة نسب هذه المعادن مع زيادة الحجم الحبيبي وزيادة معدلاته في رمال مقاطع سفوان نسبة إلى رمال مقاطع الزيبر.

تساوت مديات وجود الألبايت في كل من رمال سفوان والزيبر، إذ بلغت (0.9-2%) في رمال الزيبر وكانت معدلاته في رمال سفوان (0.67%) وهي أقل بقليل من معدلاته في رمال الزيبر (1.02%). ومن ناحية أخرى فقد وجد إن نسبته في الأحجام الناعمة والمتوسطة هي أكثر من نسب وجوده في الأحجام الخشنة عموماً.

لوحة (1)

(1) نموذج مقطع سفوان (S3)، ذو حجم حبيبي (0.125-0.25mm) الباييت (Ab) ذو حافات متآكلة يُظهر التوأمة المتعددة (Polysynthetic twining) مع حبيبة مرو أحادي التبلور (Mon-Q) (400X).

(2) نموذج مقطع سفوان (S3)، ذو حجم حبيبي (0.125-0.25mm) الباييت (Ab) ناقص الأوجه وذو حافات متآكلة ومزواة يظهر التوأمة المتعددة (400X).

(3) نموذج مقطع سفوان (S3)، ذو حجم حبيبي (0.25-0.5mm) الباييت (Ab) عديم الأوجه البلورية ذو شكل زاوي إلى شبه زاوٍ مع حبيبات من المرو (400X).

(4) نموذج مقطع سفوان (S3)، ذو حجم حبيبي (0.5-1mm) حبيبات مرو احادي (Mon-Q) ومتعدد التبلور (Pol-Q) ذات أشكال مستديرة إلى شبه مستديرة (40X).

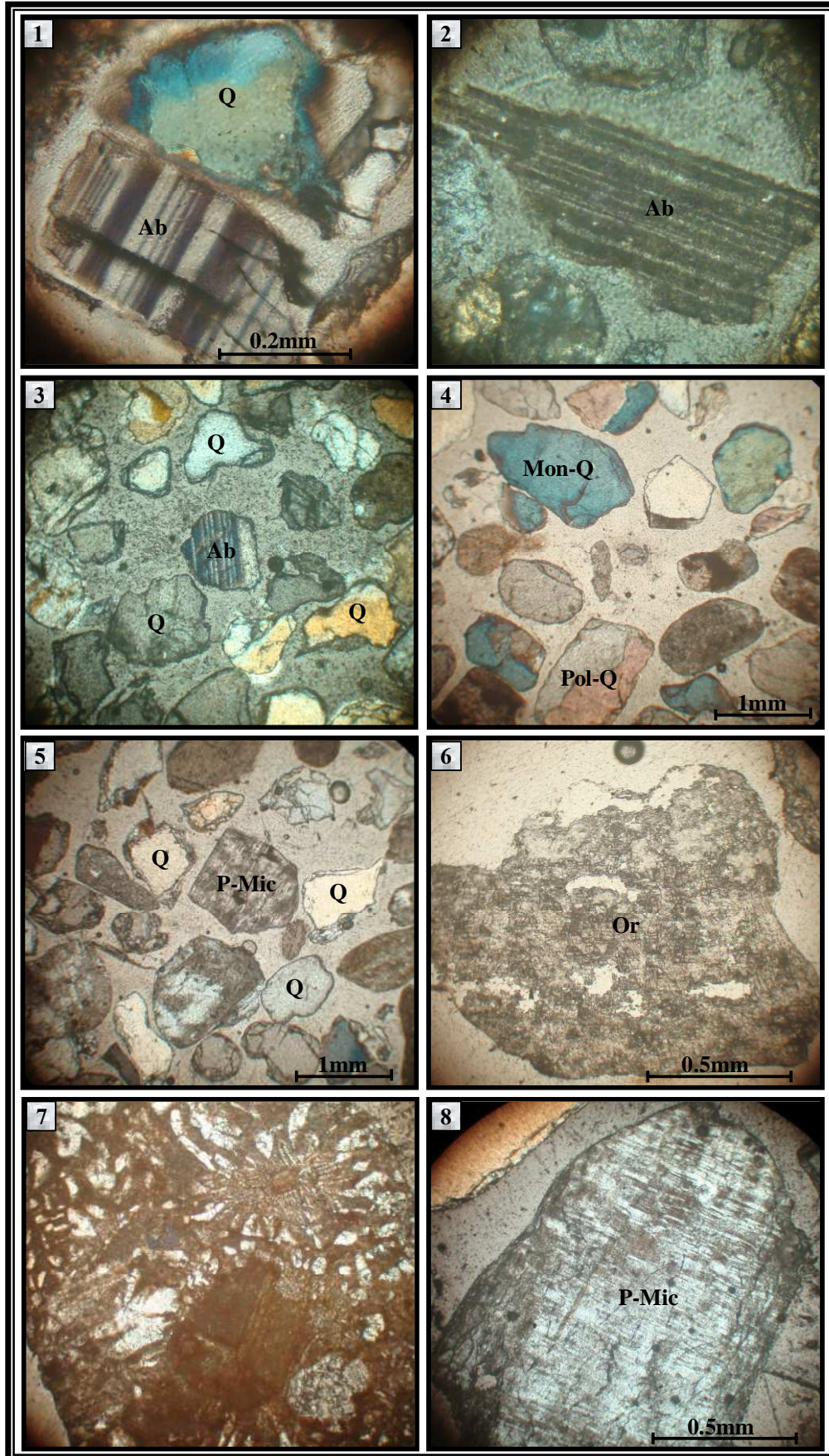
(5) نموذج مقطع سفوان (S3)، ذو حجم حبيبي (0.5-1mm) مايكروكلين بيرثايتي (Perthitic microcline) ذو حافات مزواة مع حبيبات كورانتز (40X).

(6) نموذج مقطع سفوان (S3)، ذو حجم حبيبي (1-2mm) أورثوكليز (Or) عديم الأوجه البلورية ذو حافات متآكلة (100X).

(7) نموذج مقطع سفوان (S3)، ذو حجم حبيبي (1-2mm) نمو متداخل بين الفلدسبار البوتاسي والمرو مكونا نسيج (Granphyric texture) (100X).

(8) نموذج مقطع سفوان (S3)، ذو حجم حبيبي (1-2mm) مايكروكلين بيرثايتي (P-Mic) ذو حافات مستديرة إلى شبه مستديرة (100X).

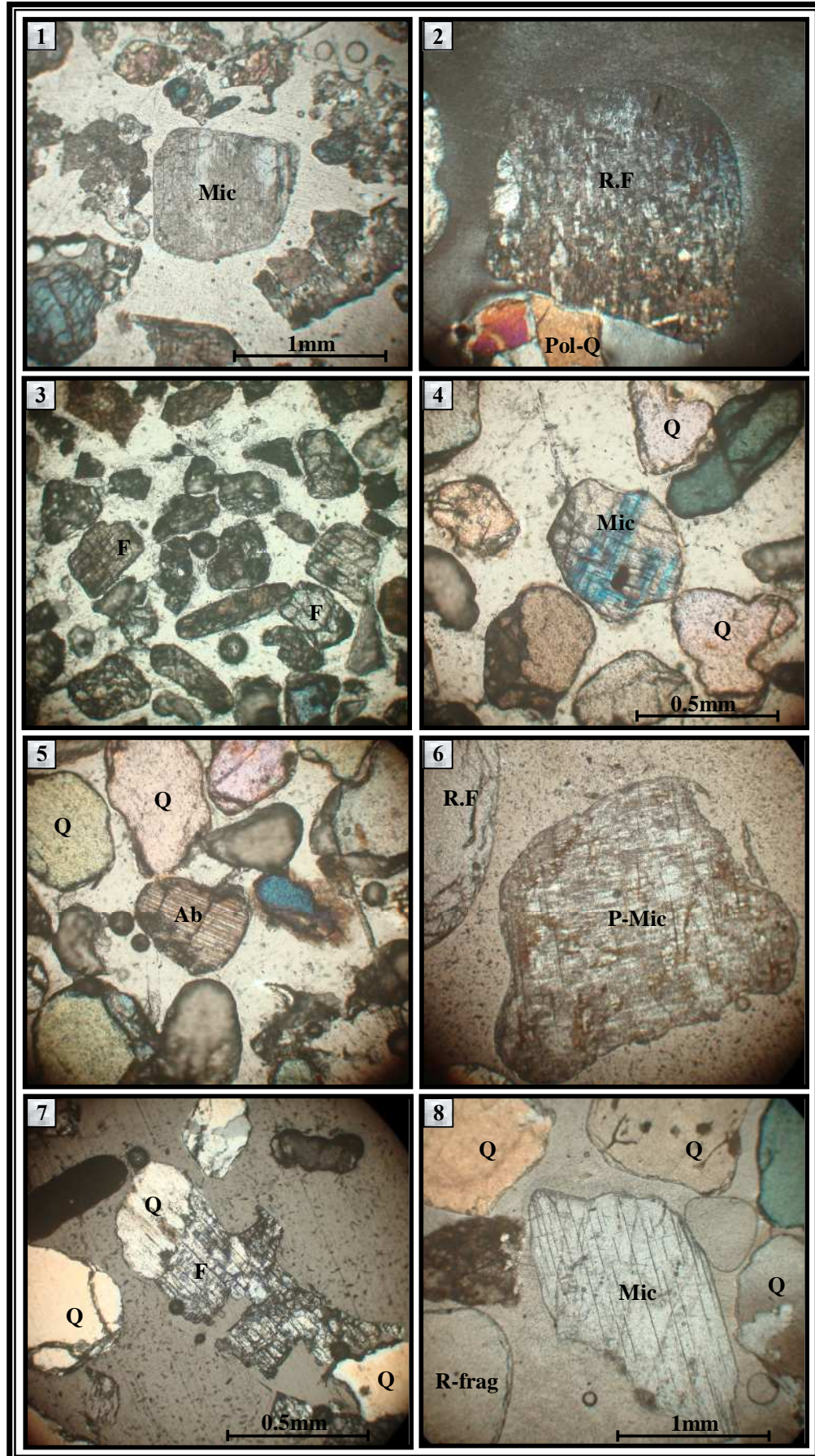
لوحة (1)



لوحة (2)

- (1) نموذج مقطع سفوان (S3)، ذو حجم حبيبي (1-2mm) مايكروكلاين (Mic) ذو حافات مستديرة إلى شبه مستديرة (40X).
- (2) نموذج مقطع سفوان (S3)، ذو حجم حبيبي (2-4 mm) قطع صخرية ناربية (R.F) محاطة بحبيبية مروة متعدد التبلور (40X).
- (3) نموذج مقطع الزبير (Z3)، ذو حجم حبيبي (0.125-0.25mm) فلدسبار متحلل (Altered feldspar) (100X).
- (4) نموذج مقطع الزبير (Z3)، ذو حجم حبيبي (0.25-0.5mm) مايكروكلاين (Mic) يظهر التوأمة المتقاطعة (Cross hatching twining) (100X).
- (5) نموذج مقطع الزبير (Z3)، ذو حجم حبيبي (0.5-1mm) مايكروكلاين بيرثايتي (P-Mic) ذو حافات مزواة (400X).
- (6) نموذج مقطع الزبير (Z3)، ذو حجم حبيبي (0.5-1mm) مايكروكلاين بيرثايتي ذو حافات مستديرة إلى شبه مستديرة (100X).
- (7) نموذج مقطع الزبير (Z3)، ذو حجم حبيبي (0.5-1mm) نمو متداخل لبلورة الفلدسبار (F) والمرو (Q) مكوناً نسيج (Myrmekitic tex.) مع تغير الفلدسبار إلى السيرسايت (100X).
- (8) نموذج مقطع الزبير (Z3)، ذو حجم حبيبي (1-2mm) مايكروكلاين (Mic) ذو تشقق تام وحافات متآكلة عديمة الأوجه محاط بحبيبات مروا حادية التبلور (40X).

لوحة (2)



جدول (6) نسب ومعدلات المرو والفلدسبار والقطع الصخرية في الأحجام الحبيبية المختلفة لنموذج ممثل لمقطع سفوان.

Grain size (mm)	Quartz		Feldspar				Rock fragments	
	Mono	Poly	Potash Feld.			Plag.	Bearing Feld.	Other
			Or	Mic	Perth	Ab.		
0.063-2	70	13.1	4	2.3	3.9	2	4.1	1
0.125-0.25	71.5	15.5	4.9	2.5	2.3	-	2.5	-
0.25-0.5	65.5	12.8	5	3.2	3	1.8	4	2
0.5-1	60	11.4	8	3.5	4	0.9	5.1	2.5
1-2	51.4	10.8	7.1	6.3	8.1	-	5	3
Range	51.4-71.5	10.8-15.5	4-8	2.3-6.3	2.3-8.1	0.9-1.8	2.5-5.1	1-3
Average	62.1	12.62	6.25	3.87	4.35	0.67	4.15	2.5

Or= Orthoclase; Mic= Microcline; Perth= Perthite; Ab= Albite; Plag= Plagioclase.

جدول (7) نسب ومعدلات المرو والفلدسبار والقطع الصخرية في الأحجام الحبيبية المختلفة لنموذج ممثل لمقطع الزبير.

Grain size (mm)	Quartz		Feldspar				Rock fragments	
	Mono	Poly	Potash Feld.			Plag.	Bearing Feld.	Other
			Or	Mic	Perth	Ab.		
0.063-2	76.3	9	3.9	2.1	2	1.2	3	2.4
0.125-0.25	77.7	6.9	2.1	1.5	1.5	2	2	1.3
0.25-0.5	82.2	7.6	1.6	1.8	2	1.2	2.5	1.5
0.5-1	78.9	6.2	3.2	1.8	3	-	6	2
1-2	80.3	5.5	2.8	2.5	3.7	0.9	5	3
Range	77.7-82.2	5.5-7.6	1.6-3.2	1.5-2.5	1.5-3.7	0.9-2	2-6	1.3-3
Average	79.77	6.52	2.42	1.9	2.55	1.02	3.87	1.95

ج- القطع الصخرية

تأتي القطع الصخرية وخاصة الحاملة للفلدسبار بالدرجة الثانية بعد المرو من حيث نسب تواجدتها في الرمال قيد الدراسة. إذ بلغ معدل وجود القطع الصخرية الحاملة للفلدسبار والتي تسهم في زيادة نسبة الفلدسبار (4.15%) في رمال سفوان، بينما كان معدلها أقل في رمال الزبير (3.87%)، جدول (6)، (7)، لوحة (2-2)، (2-6)، (8-2) وهي غالباً ما تتركز في الأحجام الخشنة والخشنة جداً. أما بالنسبة للقطع الصخرية الأخرى فتشكل نسباً قليلة ليست ذات أهمية في المساهمة في زيادة محتوى الرمال من الفلدسبار.

توجد في الرمال قيد الدراسة أنواعاً مختلفة من القطع الصخرية الناتجة عن تكسر وتفتت الصخور النارية والمتحولة وحتى الرسوبية التي أشتقت منها هذه الرمال.

شخص نوعان من القطع الصخرية، منها حاملة للفلدسبار على الأغلب ذات أصل ناري وأخرى غير حاملة للفلدسبار عبارة عن صخور رسوبية كربوناتية وأخرى سليكاتية.

3-5 التحليل الكيميائي Chemical analysis

إلى أعلى قيمة لها في كل من رمال الزبير وسفوان في الأحجام الخشنة والخشنة جداً على التوالي، أي ابتداءً من الأحجام (0.5-2 ملم).

سلك الألومينا (Al_2O_3) سلوكاً مشابهاً لأوكسيدي البوتاسيوم والصوديوم، جدول (8 و 9)، شكل (13 و 14) وتزداد تراكيزه مع زيادة الأحجام بعد التركيز من الناعمة إلى المتوسطة والخشنة والخشنة جداً في رمال المنطقتين.

ولدى المقارنة وجد إن الأكاسيد الثلاثة هي ذات تراكيز أعلى في رمال منطقة سفوان مما هو عليه في رمال الزبير حتى في نفس الأحجام الحبيبية، مما يشير إلى أن رمال سفوان هي أفضل في احتوائها على هذه العناصر وبالتالي فإن نسب الفلدسبار أكثر في رمال سفوان مع العلم إن نسب الفلدسبار لا بأس بها في رمال الزبير.

قسمت الأكاسيد ذات السلوك المتشابه إلى مجموعتين، شملت المجموعة الأولى أكاسيد (Al_2O_3 , Na_2O , K_2O) التي تزداد تراكيزها عموماً مع زيادة الأحجام الحبيبية، ومجموعة ثانية تتناقص تراكيزها عموماً مع زيادة الأحجام الحبيبية وهي (SiO_2 , Fe_2O_3 , CaO , SO_3)

- المجموعة الأولى

أظهرت نتائج التحليل الكيميائي، جدول (8، 9) أن هناك دائماً زيادة تدريجية في تراكيز (K_2O) بالمقارنة مع تراكيز (Na_2O) في رمال منطقتي سفوان والزبير وهي زيادة تتدرج مع زيادة الحجم الحبيبي بعد التركيز وصولاً إلى الحجم (2-4 ملم).

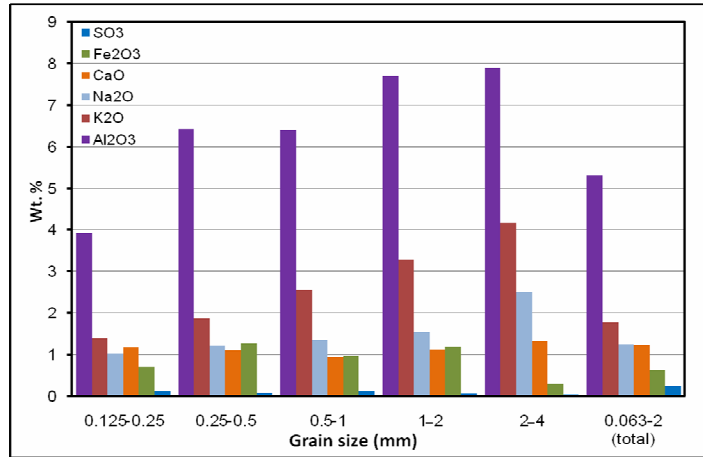
إن نسب (K_2O) هي دائماً أعلى من نسب (Na_2O)، جدول (8، 9)، شكل (13، 14) وهذا يشير بوضوح إلى سيادة معادن الفلدسبار البوتاشي (الأورثوكليز، المايكروكلين والمايكروكلين-بيرثايت) مع نسب قليلة من البلاجيوكليز الصودي (الألبايت)، علماً إن مجموع نسب الأوكسيدين تصل

جدول (8) نتائج التحليل الكيميائي لأحجام الجزء الرملي المختلفة قبل وبعد تصنيفها حجماً في النموذج الممثل لمقطع سفوان.

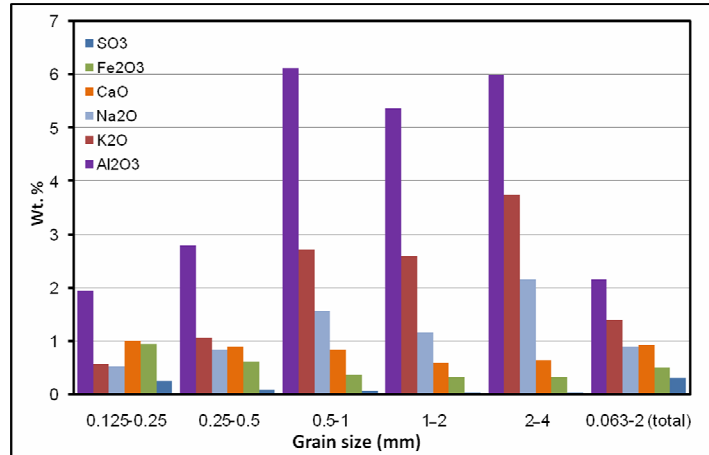
Grain size (mm)	Oxides wt. %							
	SiO_2	Al_2O_3	Fe_2O_3	CaO	SO_3	Na_2O	K_2O	Na_2O+K_2O
نموذج الرمل الكلي قبل التركيز (0.063-2)	85.91	5.31	0.64	1.23	0.25	1.26	1.78	3.04
الأحجام الرملية بعد التركيز	0.125-0.25	91.04	3.92	0.7	1.19	0.12	1.04	2.44
	0.25-0.5	83.04	6.41	1.27	1.1	0.09	1.22	3.09
	0.5-1	85.58	6.4	0.99	0.95	0.12	1.36	3.93
	1-2	83.38	7.7	1.2	1.12	0.08	1.54	4.83
	2-4	82.50	7.9	0.31	1.33	0.05	2.51	6.67
Range	82.5-91.04	3.92-7.9	0.31-1.27	0.95-1.33	0.05-0.12	1.04-2.51	1.4-4.16	2.44-6.67
Average	85.10	6.46	0.89	1.13	0.09	1.53	2.65	4.19

جدول (9) نتائج التحليل الكيميائي لأحجام الجزء الرملية المختلفة قبل وبعد تصنيفها حسباً في النموذج الممثل لمقطع الزبير.

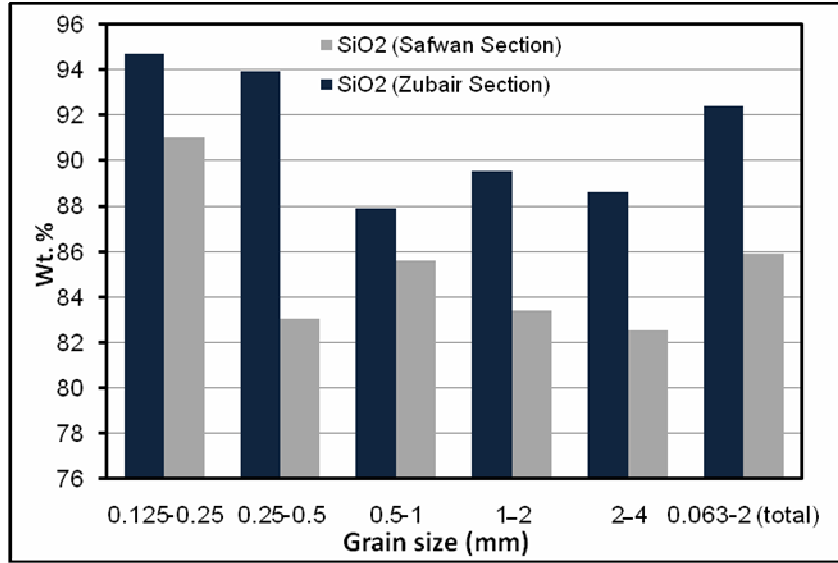
Oxides wt. %		SiO ₂	Al ₂ O ₃	Fe ₂ O ₃	CaO	SO ₃	Na ₂ O	K ₂ O	K ₂ O + Na ₂ O
Grain size (mm)									
نموذج الرمل الكلي قبل التركيز (0.063-2)		92.4	2.16	0.51	0.93	0.31	0.9	1.41	2.31
الأحجام الرملية بعد التركيز	0.125-0.25	94.7	1.95	0.95	1.02	0.25	0.53	0.58	1.11
	0.25-0.5	93.96	2.8	0.62	0.9	0.09	0.8	1.0	1.93
	0.5-1	87.89	6.12	0.38	0.84	0.08	1.57	2.72	4.29
	1-2	89.56	5.36	0.34	0.6	0.05	1.16	2.6	3.76
	2-4	88.62	6.0	0.34	0.65	0.04	2.16	3.75	5.91
Range		87.89-94.7	1.95-6.12	0.34-0.95	0.6-1.02	0.04-0.25	0.53-2.16	0.58-3.75	1.11-5.91
Average		90.94	4.44	0.52	0.80	0.10	1.24	2.13	3.4



شكل (13) علاقة نسب وتوزيع الأكاسيد في حجم الرمل الكلي والأحجام الحبيبية الأخرى للنموذج الممثل لمقطع سفوان



شكل (14) علاقة نسب وتوزيع الأكاسيد في حجم الرمل الكلي والأحجام الحبيبية الأخرى للنموذج الممثل لمقطع الزبير.



شكل (15) علاقة السليكا مع الأحجام الحبيبية للجزء الرمي للنماذج الممثلة لمقطعي سفوان والزبير.

الأخذ بنظر الاعتبار ان نسبته في كلتا المنطقتين مشجعة حتى في الأحجام الناعمة والمتوسطة، جدول (10) إلا أنها تتركز في الأحجام الخشنة وخاصة الأحجام (0.5-4 ملم)، شكل (16) مما يشجع إلى إجراء عمليات التركيز مستقبلاً بطريقة التعويم الرغوي لرفع نسبة الفلدسبار أكثر.

الفلدسبار من الرمال بطريقة التعويم الرغوي، إذ بلغت مدياته بين (0.31%-1.27) وبمعدل (0.89%) في رمال سفوان و (0.34%-0.95) وبمعدل (0.52%) في رمال الزبير. وهي بذلك تقع ضمن حدود المواصفات المعتمدة لدى الشركة العامة لصناعة الزجاج والسيراميك في الرمادي والتي تشترط أن لا تتعدى نسبة الحديد عن (1%) في الرمال الحاملة للفلدسبار لاستعمالها في الخلطات السيراميكية [10]، الأمر الذي يشجع إلى استخدام هذه الرمال لأغراض تركيز الفلدسبار دون الحاجة إلى إجراء عمليات الفصل المغناطيسي.

أعتمدت طريقة [18] لحساب النسب الحقيقية للفلدسبار في الرمال قيد الدراسة، وتبين ان نسب الفلدسبار عموماً تتراوح بين (17.09%-45.88) وبمعدل (24.43%) في رمال سفوان وبين (7.92%-40.49) وبمعدل (19.02%) في رمال الزبير، وهذا يعكس ترجيح نسب الفلدسبار في رمال سفوان مقارنة بنسبها في رمال الزبير مع

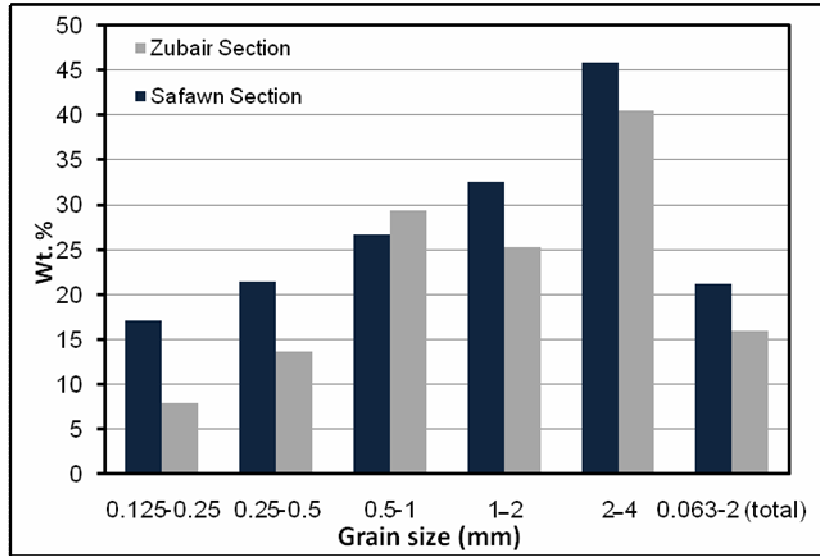
- المجموعة الثانية

تتدرج الأكاسيد الأربعة (SiO_2 , Fe_2O_3 , CaO , SO_3) عموماً بالنقصان التدريجي في تراكيزها من الاحجام الناعمة والمتوسطة ثم الخشنة والخشنة جداً لتصل إلى اقل قيمها عموماً في الأحجام (2-4 ملم).

وجد زيادة في نسبة السليكا مع نقصان الحجم الحبيبي، إذ بلغت أعلى قيمة لها عند الأحجام الناعمة (0.125-0.25 ملم) في رمال المنطقتين، جدول (8 و 9)، شكل (15). اما بالنسبة لأكاسيد الحديد والكالسيوم والكبريت فقد انخفضت تراكيزها إلى اقل قيمها وخاصة بالنسبة لأوكسيد الحديد الذي يعد عاملاً مهماً مؤثراً في عملية فصل وتركيز

جدول (10) كمية الفلدسبار المحسوبة بطريقة [18] في نماذج مقطعي سفوان والزبير.

Grain size (mm)	Feldspar %	
	Safwan	Zubair
0.125-0.25	16.40	7.92
0.25-0.5	21.39	12.68
0.5-1	26.72	29.39
1-2	32.51	25.21
2-4	45.88	40.49
Average	28.58	23.138



شكل (16) كمية الفلدسبار المحسوبة بطريقة [18] وعلاقتها بالأحجام الحبيبية للجزء الرملي في النماذج الممثلة لمقطعي الزبير وسفوان.

تراكيذه عموماً كانت قليلة ولا تعد ذات تأثيراً واضحاً عند إجراء عمليات التركيز.

أما (SO₃) فقد سلك سلوكاً واضحاً بإنخفاض تراكيزه في رمال سفوان والزبير عموماً بحيث كان على أقلها في الأحجام الخشنة والخشنة جداً، وهو يرتبط بشكل أساسي بمعدن الجبس الذي لا يشكل تأثيراً كبيراً على عمليات التركيز إذ يمكن التخلص منه بعمليات الغسل [19].

تناقصت تراكيز كل من (CaO, SO₃) عموماً في رمال كلا المنطقتين مع وجود بعض الاستثناءات في تراكيز (CaO) والتي تعزى إلى مساهمة بعض القطع الصخرية الكربوناتيّة الموجودة في الرمال التي تساهم في زيادة تركيزه في بعض الأحجام وظهوره على شكل معدن الكالسيت في بعض النماذج كما أظهرته نتائج التحليل بالأشعة السينية الحادثة، الأشكال (5، 6، 7، 8، 9، 10، 11، 12) إلا أن

6- الخلاصة والاستنتاجات Summery and conclusions

1. شغلت رواسب الرمال الحصوية في منطقتي سفوان والزبير امتدادات وسماكات لا بأس بها يمكن التعويل عليها اقتصادياً في تركيز معادن الفلدسبار.
2. شكلت الأحجام الرملية الخشنة والخشنة جداً (0.5-2 ملم) معدل (56%) من الحجم الكلي للرواسب في رمال سفوان، بينما كان معدلها (38%) في رواسب رمال الزبير.
3. رمال سفوان والزبير تتكون أساساً من عدد من المعادن وهي حسب الوفرة المرو يليه الفلدسبار، وشكل المرو أحادي التبلور النسبة الأكبر في رمال مقاطع سفوان والزبير وفي الأحجام الرملية كافة مقارنة بالمرو المتعدد التبلور، وهو يميل إلى التركيز في الأحجام الرملية الناعمة والمتوسطة وأن رمال الزبير هي الأكثر إحتواءً عليه.
4. يتركز الفلدسبار في الأحجام الخشنة جداً وخاصة في رمال سفوان مع وجوده بنسب لا بأس بها في الأحجام الناعمة والمتوسطة، وأن أغلب الفلدسبار الموجود هو من نوع البوتاشي (الأورثوكليز، المايكروكلاين والمايكروكلاين-بيرثايت) مع مساهمة بسيطة للالبايت.
5. ساهمت القطع الصخرية الحاملة للفلدسبار بزيادة معدلات الفلدسبار في الرمال، وتركزت ضمن الأحجام الخشنة والخشنة جداً وهي أكثر وجوداً في رمال سفوان عما هي عليه في رمال الزبير.
6. تصل تراكيز (Al_2O_3 , Na_2O , K_2O) إلى أعلى معدلاتها في الأحجام الرملية الخشنة والخشنة جداً (بعد التركيز) وهي تتناسب طردياً مع زيادة الحجم الحبيبي. وبلغت أعلى قيمها في رمال سفوان وخاصة في الأحجام (0.5-2 ملم) الأمر الذي يعكس تركيز الفلدسبار خصوصاً بعد حساب النسبة الكلية للفلدسبار كيميائياً، إذ بلغت معدلات تراكيز أكاسيد البوتاسيوم والصوديوم في

7- شكر وتقدير Acknowledgment

نتقدم بالشكر والتقدير إلى دائرة البحث والتطوير في وزارة التعليم العالي والبحث العلمي لدعمها وتمويلها مشروع

لمصادر

1. الخفاجي، ستار جبار والعلي، صفاء حسين، 2010، تقدير الإحتياطي الأولي للخامات الرملية الحصوية، جنوبي العراق، قيد الإنجاز.
2. Sadik, J. M., 1977, Sedimentology investigation of Dibdiba formation, Southern and central Iraq, Unpubl. M.Sc. thesis,

11. Jassim, S. Z. and Goff, J. C., 2006, Geology of Iraq, Dolin, Prague & Moravian museum, Brno, 341 P.
12. Al-Naqib, K. M., 1970, Geology of jebal Sanam: South of Iraq, Jour. Geol. Soc. Iraq, Vol. 13, No. 1, pp. 9-36.
13. Folk, R. L., 1974, petrology of sedimentary rocks, Hemphill, Texas, 182 P.
14. CHAO, G. Y., 1960, 2θ (Cu) table for common minerals, Geological paper 69-2, Ottawa, Canada.
15. Toker, M. E., 1985, Sedimentary petrology: an introduction, 4th ed., Black well scientific publication, 252P.
16. Pichler, H., Schmitt-Riegraf, C. and Hoke, L., 1997, Rock-Forming minerals in thin section, Chapman and Hall, 220 p.
17. Keer, P. F., 1977, Optical mineralogy, McGraw-Hill-book, Co., New York, 493 P.
18. Malghan, S. G., 1981, Effect of process variables in feldspar floatation using non-hydrofluoric acid system, Mining engineering, No. 232, pp. 1616-1623.
19. البصام، خلدون صبحي؛ الكعبي، عادل عبد الجبار ومحمد، علاء، 2000، تنقية الرمال الحاملة للفلدسبار في تكوين الدبديبة من الشوائب الجبسية، الشركة العامة للمسح الجيولوجي والتعدين، تقرير رقم 2574.
- University of Baghdad, College of Science, 148 P.
3. Dana, J. D., 1985, Manual of mineralogy, 20th ed., John Wiley & Sons, 287 P.
4. Kuzvart, M., 1984, Industrial minerals and rocks, Elsevier science publishing Co., Inc., 454P.
5. Deer, W. A., Howie, R. A. and Zussman, J., 1978, An introduction to the rock forming minerals, Longman, John Wiley and Sons, 220 P.
6. Sydney, J. S., 1961, Minerals for chemicals and allied industry, 2nd ed, 180 P.
7. Mineral.usgs.gov/minerals/pubs/commodity/feldspar.
8. النجار، نائل عبد الإمام، 2007، دراسة بتروغرافية وجيوكيميائية لرمال تكوين الدبديبة في مناطق مختارة جنوب العراق، رسالة ماجستير غير منشورة، كلية العلوم، جامعة البصرة، 67 ص.
9. الكعبي، عادل؛ عبد الحسن، علي وعبد الله، وفاء، 2005، التوزيع الحجمي لمعادن الفلدسبار في رمال تكوين الدبديبة في هضبة النجف واستعمالها في الصناعات السيراميكية، مجلة الجيولوجيا والتعدين العراقية، المجلد 1.
10. العجيل، عبد الوهاب؛ عبد الله، بان؛ الكعبي، عادل؛ و خالد، داليا، 2005، تركيز الفلدسبار من رمال تكوين الدبديبة لمنطقة النجف بطريقة التعويم الرغوي، مجلة الجيولوجيا والتعدين العراقية، المجلد 1، العدد 2.

Identification and upgrading of Feldspar in some sand deposits, southern Iraq

S. J. Al-Khafaji

S. H. Al-Ali

H. A. Al-Saad

Geology Dept./ Science college/ Basrah University

khafaji52000@yahoo.com

Abstract

Sand deposits bearing feldspar at Dibdiba formation were studied in eight exposed sections within Safwan and Zubair area in Basrah region, southern Iraq.

distribution of feldspar minerals were evaluated in different sand size fractions (0.125-0.25mm), (0.25-0.5mm), (0.5-1mm), (1-2mm) in order to upgrade their contents of feldspar and the possibility to be used as raw material for glass and ceramic industry in Iraq. Coarse and very coarse size fractions (0.5-2mm) make up (56%) and (38%) in Safwan and Zubair area respectively.

Mineralogical and petrographical analysis revealed the predominant of quartz in fine and medium sizes of both mono and polycrystalline (74.7%, 86.2%) in Safwan and Zubair area respectively, while feldspar particularly potash feldspar (Orthoclase, Microcline and Perthetic microcline) are mainly concentrated in coarse to very coarse sizes especially in Safwan area (15.1%) in comparison with their average content in Zubair area (6.8%).

Chemically (Al_2O_3 , Na_2O , K_2O) were concentrated in coarse to very coarse sand sizes (0.5-2mm) with average content of ($Na_2O + K_2O$) (4.19%) in Safwan area and (3.4%) in Zubair area.

The concentration of (SiO_2 , Fe_2O_3 , CaO and SO_3) tend to decrease with the increase of sand sizes in both area and especially concentrated in fine and medium sizes. The average concentrations of (Fe_2O_3) of both Safwan and Zubair reflect the possibility of upgrading of feldspar from sand deposits by using floatation method without magnetic processes.

Feldspar upgrading by dry mechanical processes showed that the range of feldspar (26.7-32.5%) in Safwan and (25.2-29.3%) in Zubair sand deposits, which encourage to consider that the coarse and very coarse sand sizes are raw materials for feldspar in Basrah, southern Iraq.